

## Il teorema della divergenza e il teorema di Stokes

Introduciamo due "operatori" fondamentali, che agiscono sui campi vettoriali trasformandoli in una grandezza scalare oppure in un altro campo vettoriale.

Definizione Sia  $f: A \subseteq \mathbb{R}^N \rightarrow \mathbb{R}^N$  un campo vettoriale di classe  $C^1$  su un aperto  $A$ . La divergenza di  $f$  è la funzione scalare continua

$$[\operatorname{div} f](x) = \sum_{j=1}^N D_j f_j(x).$$

Esempio (1) Se  $A = \mathbb{R}^2$ ,  $f(x, y) = (x, -y)$ , allora

$$[\operatorname{div} f](x, y) = \frac{\partial}{\partial x} x + \frac{\partial}{\partial y} (-y) = 1 - 1 = 0.$$

(2) Se  $A = \mathbb{R}^3$ ,  $f(x, y, z) = (x^2, xyz, zy)$ , allora

$$[\operatorname{div} f](x, y, z) = \frac{\partial}{\partial x} x^2 + \frac{\partial}{\partial y} xyz + \frac{\partial}{\partial z} zy = 2x + xz + y.$$

Definizione Sia  $g: A \subseteq \mathbb{R}^3 \rightarrow \mathbb{R}^3$  un campo vettoriale di classe  $C^1$  su un aperto  $A$ . Il rotore di  $g$  è il campo vettoriale continuo

$$[\operatorname{rot} g](x, y, z) = \det \begin{pmatrix} \underline{i} & \underline{j} & \underline{k} \\ D_x & D_y & D_z \\ g_1 & g_2 & g_3 \end{pmatrix} = \begin{pmatrix} D_y g_3 - D_z g_2 \\ D_z g_1 - D_x g_3 \\ D_x g_2 - D_y g_1 \end{pmatrix} (x, y, z).$$

Esempio (1) Se  $A = \mathbb{R}^3$ ,  $g(x, y, z) = (x, y, z)$ , allora  $\operatorname{rot} g = \underline{0}$ .

(2) Se  $A = \mathbb{R}^3$ ,  $g(x, y, z) = (e^y, e^z, e^x)$ , allora  $\operatorname{rot} g = (-e^z, -e^x, -e^y)$ .

Illustriamo i due teoremi più importanti di questa lezione.

110

Teorema (della divergenza). Sia  $A \subset \mathbb{R}^N$  ( $N=2$  o  $N=3$ ) un aperto limitato con frontiera  $\partial A$  di classe  $C^1$  (o  $C^1$  a tratti). Sia  $\underline{n}$  il vettore normale esterno ad  $A$ , calcolato sui punti di  $\partial A$ .

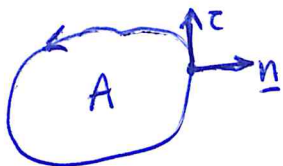
Se  $\underline{F}$  è un campo vettoriale di classe  $C^1$ , definito su un aperto  $B \supset \bar{A}$ , si ha

$$\int_A \operatorname{div} \underline{F} \, dx = \int_{\partial A} \langle \underline{F}, \underline{n} \rangle_N \, ds.$$

Osservazioni (1) Se  $N=1$ ,  $dx = dx$ , e  $\partial A$  è una curva chiusa.

Se  $N=3$ ,  $dx = dx dy dz$  e  $\partial A$  è una superficie chiusa; in questo caso,  $ds = d\sigma$  e il 2° membro è il flusso del campo  $\underline{F}$  uscente dalla superficie  $\partial A$ .

(2) Se  $N=2$ , detto  $\underline{z}$  il vettore tangente a  $\partial A$  con verso antiorario,



si ha  $n_1 = z_2$ ,  $n_2 = -z_1$ ,

quindi il 2° membro del teorema diventa un circuito!

$$\begin{aligned} \int_A \operatorname{div} \underline{F} \, dx dy &= \int_{\partial A} (F_1 n_1 + F_2 n_2) \, ds = \int_{\partial A} (F_1 z_2 - F_2 z_1) \, ds = \int_{\partial A} \left\langle \begin{pmatrix} -F_2 \\ F_1 \end{pmatrix}, \underline{z} \right\rangle_2 \, ds \\ &= \int_{+\partial A} (F_1 \, dy - F_2 \, dx). \end{aligned}$$

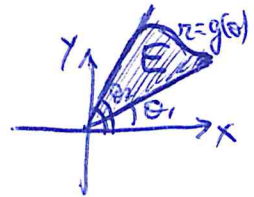
(3) Applicazione all'area di intorni piani.

Sia  $E = \{(x,y) \in \mathbb{R}^2 : r \leq g(\theta), \theta_1 \leq \theta \leq \theta_2\}$ , ove ovviamente  $x = r \cos \theta$  e  $y = r \sin \theta$ , e  $g$  è una funzione continua e positiva su  $[\theta_1, \theta_2]$ . Si ha

$$m_2(E) = \int_E 1 \, dx \, dy = \int_{+\partial E} x \, dy = \int_{-\partial E} y \, dx,$$

e quindi, in particolare,

$$m_2(E) = \frac{1}{2} \int_{+\partial E} (x \, dy - y \, dx).$$



Il bordo  $\partial E$  è fatto dai due segmenti

$$+\Gamma_1: \begin{cases} x = r \cos \theta_1 \\ y = r \sin \theta_1 \end{cases} \quad 0 \leq r \leq g(\theta_1), \quad -\Gamma_2: \begin{cases} x = r \cos \theta_2 \\ y = r \sin \theta_2 \end{cases} \quad 0 \leq r \leq g(\theta_2),$$

e dal tratto curvilineo

$$+\Gamma_3: \begin{cases} x = g(\theta) \cos \theta \\ y = g(\theta) \sin \theta \end{cases} \quad \theta_1 \leq \theta \leq \theta_2.$$

Quindi

$$m_2(E) = \frac{1}{2} \int_{+\Gamma_1} (x \, dy - y \, dx) + \frac{1}{2} \int_{-\Gamma_2} (x \, dy - y \, dx) + \frac{1}{2} \int_{+\Gamma_3} (x \, dy - y \, dx).$$

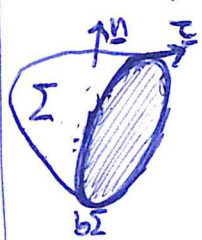
Si verifica immediatamente che gli integrali lungo  $\Gamma_1$  e lungo  $\Gamma_2$  sono nulli. Con

$$m_2(E) = \frac{1}{2} \int_{+\Gamma_3} (x \, dy - y \, dx) = \frac{1}{2} \int_{\theta_1}^{\theta_2} [g(\theta) \cos \theta (g'(\theta) \sin \theta + g(\theta) \cos \theta) + g(\theta) \sin \theta (g'(\theta) \cos \theta - g(\theta) \sin \theta)] d\theta = \frac{1}{2} \int_{\theta_1}^{\theta_2} g(\theta)^2 d\theta.$$

Dunque, per esempio, l'area di uno dei tre petali della "rosa a tre petali" ( $E = \{(x,y) : r \leq \sin 3\theta, 0 \leq \theta \leq \frac{\pi}{3}\}$ ), è

$$\frac{1}{2} \int_0^{\pi/3} \sin^2 3\theta \, d\theta = \frac{1}{6} \int_0^{\pi} \sin^2 t \, dt = \frac{\pi}{12}.$$

Teorema (di Stokes, o del rotore) Sia  $\Sigma$  una superficie regolare, orientabile, con bordo  $b\Sigma$ . Orientiamo  $\Sigma$  ed il vettore normale  $\underline{n}$



e  $b\Sigma$  ed il vettore tangente  $\underline{z}$  in modo che, percorrendo  $b\Sigma$  nel verso di  $\underline{z}$  con la testa della parte di  $\underline{n}$ , si abbia  $\Sigma$  a sinistra. Se  $\underline{F}: B \subset \mathbb{R}^3 \rightarrow \mathbb{R}^3$  è un campo vettoriale di classe  $C^1$  con  $B \supset \Sigma$ . Allora

$$\int_{\Sigma} \langle \text{rot} \underline{F}, \underline{n} \rangle_3 \, d\sigma = \int_{b\Sigma} \langle \underline{F}, \underline{z} \rangle_3 \, ds.$$

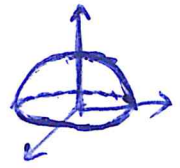
Osservazione. Le orientazioni di  $\underline{n}$  e  $\underline{z}$  sono "coerenti" nel senso descritto nell'enunciato se e solo se, detto  $\underline{v}$  il vettore perpendicolare sia a  $\underline{n}$  che a  $\underline{z}$ , uscente da  $\Sigma$ ,



risulta  $\det(\underline{v} | \underline{z} | \underline{n}) = 1$ .

Esempio Sia  $\underline{F}(x,y,z) = \begin{pmatrix} y+xz \\ 2x+2yz \\ 3z+4xy \end{pmatrix}$  e sia  $\Sigma = \{x^2+y^2+z^2 \leq 1, z \geq 0\}$ .

$B$  sfera unitaria superiore, orientata secondo il vettore  $\underline{n}$  che ha  $n_3 > 0$ .





Il flusso del rotore di  $\underline{F}$  attraverso  $\Sigma$  si calcola con:

$$\text{rot } \underline{F} = \begin{pmatrix} 4x-2y \\ x-4y \\ 1 \end{pmatrix}, \quad \Sigma = \begin{cases} x = \cos\theta \cos\varphi \\ y = \cos\theta \sin\varphi \\ z = \sin\theta \end{cases}, \quad \begin{matrix} 0 \leq \theta \leq \frac{\pi}{2} \\ 0 \leq \varphi \leq 2\pi \end{matrix}$$

$$D\sigma = \begin{pmatrix} -\sin\theta \cos\varphi & -\cos\theta \sin\varphi \\ -\sin\theta \sin\varphi & \cos\theta \cos\varphi \\ \cos\theta & 0 \end{pmatrix}, \quad \underline{n} = \begin{pmatrix} -\cos^2\theta \cos\varphi \\ -\cos^2\theta \sin\varphi \\ -\sin\theta \cos\theta \end{pmatrix}$$

ma questo  $\underline{n}$  ha  $n_z < 0$ . Quindi metteremo un segno "-" davanti all'integrale. Il flusso è

$$\begin{aligned} - \int_{\Sigma} \langle \text{rot } \underline{F}, \underline{n} \rangle_z d\sigma &= - \int_0^{2\pi} \int_0^{\pi/2} \left[ (4 \cos\theta \cos\varphi - 2 \cos\theta \sin\varphi)(-\cos^2\theta \cos\varphi) + \right. \\ &+ \left. (\cos\theta \cos\varphi - 4 \cos\theta \sin\varphi)(-\cos^2\theta \sin\varphi) + 1 \cdot (-\sin\theta \cos\theta) \right] d\theta d\varphi = \\ &= \int_0^{2\pi} \int_0^{\pi/2} \left[ 4 \cos^3\theta \cos^2\varphi - \cos^3\theta \cos\varphi \sin\varphi - 4 \cos^3\theta \sin^2\varphi + \sin\theta \cos\theta \right] d\theta d\varphi. \end{aligned}$$

Il 1° e 3° integrale sono uguali perché  $\int_0^{2\pi} \cos^2\varphi d\varphi = \int_0^{2\pi} \sin^2\varphi d\varphi = \pi$ .

Il 2° integrale è nullo perché  $\int_0^{2\pi} \sin\varphi \cos\varphi d\varphi = 0$ . Il 4° integrale vale  $2\pi \cdot \left[ \frac{\sin^2\theta}{2} \right]_0^{\pi/2} = \pi$ . Perciò

$$- \int_{\Sigma} \langle \text{rot } \underline{F}, \underline{n} \rangle_z d\sigma = +\pi.$$

poteremo più agevolmente calcolare il lavoro di  $F$  lungo  $\partial \Sigma$ : infatti

$$\partial \Sigma : \begin{cases} x = \cos \varphi \\ y = \sin \varphi \\ z = 0 \end{cases}, \quad \underline{\tau} = \begin{pmatrix} -\sin \varphi \\ \cos \varphi \\ 0 \end{pmatrix} \text{ (orientazione coerente),}$$

quindi

$$\begin{aligned} \int_{\partial \Sigma} \langle \underline{F}, \underline{\tau} \rangle ds &= \int_0^{2\pi} [(\sin \varphi + 0)(-\sin \varphi) + (\cos \varphi + 0) \cos \varphi + (0 + 4 \cos \varphi \sin \varphi) \cdot 0] d\varphi = \\ &= \int_0^{2\pi} (-\sin^2 \varphi + 2 \cos^2 \varphi) d\varphi = -\pi + 2\pi = \pi, \end{aligned}$$

Come è giusto, visto il Teorema.

Esercizi

① Calcolare il lavoro di  $\underline{F}(x,y) = \begin{pmatrix} y \\ -x \end{pmatrix}$  lungo la curva

$$\Gamma = \left\{ r = \frac{1}{1+\theta}, 0 \leq \theta < \infty \right\}.$$

② Calcolare il flusso del rotore di  $\underline{F}(x,y,z) = \begin{pmatrix} y^2 - z^2 \\ z^2 - x^2 \\ 0 \end{pmatrix}$

attraverso la superficie  $\Sigma$  che è il bordo laterale della piramide in base  $[-1,1] \times [-1,1]$  e vertice  $(0,0,1)$ , orientata con vettore normale  $\underline{n}$  tale che  $n_3 > 0$ .

③ Calcolare il flusso del campo  $\underline{F}(x,y,z) = \begin{pmatrix} x^2 \\ y^2 \\ 1-z \end{pmatrix}$  attraverso  
la superficie

$$\Sigma = \{z = x^2 + y^2, 0 \leq z \leq 1\},$$

con versore normale  $\underline{n}$  tale che  $n_3 < 0$ .

④ Calcolare il flusso del campo  $\underline{F}(x,y,z) = \begin{pmatrix} x^2 \\ y^2 \\ z^2 \end{pmatrix}$  attraverso  
la superficie  $\Sigma$ , data dal quadrato di vertici  $(0,0,0)$ ,

$(1,1,0)$ ,  $(0,0,\sqrt{2})$ ,  $(1,1,\sqrt{2})$ , orientata con versore normale  $\underline{n}$   
tale che  $n_1 > 0$ .

⑤ Calcolare il flusso del rotore di  $\underline{F}(x,y,z) = \begin{pmatrix} ze^{-y} \\ z \\ y \end{pmatrix}$

attraverso la superficie

$$\Sigma = \{x^2 + y^2 + z^2 = 1\}$$

con versore normale  $\underline{n}$  esterno.

⑥ Calcolare il flusso del rotore di  $\underline{F}(x,y,z) = \begin{pmatrix} y \\ x \\ xe^{-y} \end{pmatrix}$ ,

attraverso la superficie

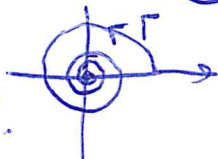
$$\Sigma = \{y = x^2 + z^2 \leq 1, z \geq 0\},$$

con versore normale  $\underline{n}$  tale che  $n_2 < 0$ .

## Risoluzione

116

- ① Dobbiamo calcolare  $\int_{\Gamma} \langle F, \underline{z}_2 \rangle ds$ , con  $\underline{z}$  vettore tangente orientato secondo le  $\theta$  crescenti.



Si ha

$$\Gamma: \begin{cases} x = \frac{\cos \theta}{1+\theta} \\ y = \frac{\sin \theta}{1+\theta} \end{cases}, \quad \begin{cases} x' = -\frac{\sin \theta}{1+\theta} - \frac{\cos \theta}{(1+\theta)^2} \\ y' = \frac{\cos \theta}{1+\theta} - \frac{\sin \theta}{(1+\theta)^2} \end{cases}$$

da cui

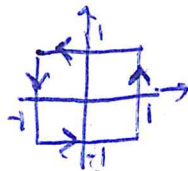
$$\begin{aligned} \int_{\Gamma} \langle F, \underline{z}_2 \rangle ds &= \int_0^{\infty} (y x' - x y') d\theta = \\ &= \int_0^{\infty} \left[ \frac{\sin \theta}{1+\theta} \left( -\frac{\sin \theta}{1+\theta} - \frac{\cos \theta}{(1+\theta)^2} \right) - \frac{\cos \theta}{1+\theta} \left( \frac{\cos \theta}{1+\theta} - \frac{\sin \theta}{(1+\theta)^2} \right) \right] d\theta = \\ &= \int_0^{\infty} -\frac{1}{(1+\theta)^2} d\theta = \left[ \frac{1}{1+\theta} \right]_0^{\infty} = -1. \end{aligned}$$

- ② Dobbiamo calcolare  $\int_{\Sigma} \langle \text{rot} F, \underline{n}_3 \rangle d\sigma$ , con  $\underline{n}$  vettore normale esterno (se si vuole  $n_3 > 0$ ). Usando il teorema di Stokes si ha

$$\int_{\Sigma} \langle \text{rot} F, \underline{z}_3 \rangle d\sigma = \int_{\partial \Sigma} \langle F, \underline{z}_3 \rangle ds,$$



ove  $\partial \Sigma = [-1, 1] \times [-1, 1] \subset \mathbb{R}^2 \times \{0\}$ ; l'orientazione del vettore tangente è antioraria. Detti  $\Gamma_i, i=1,2,3,4$  i quattro lati, si ha:





$$+\Gamma_1: \begin{cases} x=1 \\ y=y \\ z=0 \end{cases} \quad -1 \leq y \leq 1, \quad \underline{n} = \begin{pmatrix} 0 \\ 1 \\ 0 \end{pmatrix},$$

$$-\Gamma_2: \begin{cases} x=x \\ y=1 \\ z=0 \end{cases} \quad -1 \leq x \leq 1, \quad \underline{n} = \begin{pmatrix} 1 \\ 0 \\ 0 \end{pmatrix},$$

$$-\Gamma_3: \begin{cases} x=-1 \\ y=y \\ z=0 \end{cases} \quad -1 \leq y \leq 1, \quad \underline{n} = \begin{pmatrix} 0 \\ 1 \\ 0 \end{pmatrix},$$

$$+\Gamma_4: \begin{cases} x=x \\ y=-1 \\ z=0 \end{cases} \quad -1 \leq x \leq 1, \quad \underline{n} = \begin{pmatrix} 1 \\ 0 \\ 0 \end{pmatrix},$$

e quindi

$$\begin{aligned} \int_{\partial \Sigma} \langle F, \underline{n} \rangle_3 ds &= \int_{-1}^1 F_2 dy - \int_{-1}^1 F_1 dx - \int_{-1}^1 F_2 dy + \int_{-1}^1 F_1 dx = \\ &= \int_{-1}^1 (-1) dy - \int_{-1}^1 1 dx - \int_{-1}^1 (-1) dy + \int_{-1}^1 1 dx = -2 - 2 + 2 + 2 = 0. \end{aligned}$$

③ Dobbiamo calcolare  $\int_{\Sigma} \langle F, \underline{n} \rangle_3 d\sigma$ , con  $\underline{n}$  normale esterne al paraboloido, essendo  $n_3 < 0$ . Essendo



$$\Sigma: \begin{cases} x=x \\ y=y \\ z=x^2+y^2 \end{cases}, \quad (x,y) \in B((0,0),1); \quad D\sigma = \begin{pmatrix} 1 & 0 \\ 0 & 1 \\ 2x & 2y \end{pmatrix}, \quad \underline{n} = \begin{pmatrix} -2x \\ -2y \\ 1 \end{pmatrix},$$

il vettore di  $\underline{n}$  è quello sbagliato, e dunque

$$\int_{\Sigma} \langle F, \underline{n} \rangle_3 d\sigma = \int_{\{x^2+y^2 \leq 1\}} (-2x^3 - 2y^3 + 1 - x^2 - y^2) dx dy =$$

$$= - \int_0^{2\pi} \int_0^1 (-2r^3 \cos^3 \theta - 2r^3 \sin^3 \theta + 1 - r^2) r \, dr \, d\theta =$$

(118)

(gli integrali  $\int_0^{2\pi} \cos^3 \theta \, d\theta$  e  $\int_0^{2\pi} \sin^3 \theta \, d\theta$  sono nulli)

$$= 2\pi \int_0^1 (r - r^3) \, dr = 2\pi \left( \frac{1}{2} - \frac{1}{4} \right) = \frac{\pi}{2}.$$

Si poteva anche fare questa osservazione: se consideriamo

la superficie chiusa  $\Sigma_0 = \Sigma \cup T$ , ove  $T$  è il tappo:

$$T = \{(x, y, z) : z = 1, x^2 + y^2 \leq 1\},$$

dal teorema della divergenza segue, detto  $E$  il paraboloido "inverso",

$$\int_{\Sigma_0} \langle F, n \rangle_3 \, d\sigma = \int_E \operatorname{div} F \, dx \, dy \, dz = \int_E (2x + 2y - 1) \, dx \, dy \, dz.$$

$$\text{Si noti che } \int_T \langle F, n \rangle_3 \, d\sigma = \int_T \left\langle \begin{pmatrix} x^2 \\ y^2 \\ 0 \end{pmatrix}, \begin{pmatrix} 0 \\ 0 \\ 1 \end{pmatrix} \right\rangle_3 \, d\sigma = 0;$$

quindi

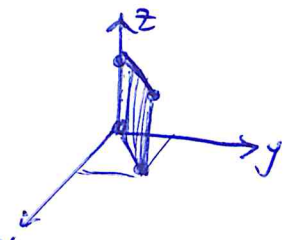
$$\int_{\Sigma} \langle F, n \rangle_3 \, d\sigma = \int_E (2x + 2y - 1) \, dx \, dy \, dz =$$

$$= \int_{\{x^2+y^2 \leq 1\}} \int_{x^2+y^2}^1 (2x+2y-1) \, dz \, dx \, dy = [\text{coordinate cilindriche}]$$

$$= \int_0^1 \int_0^{2\pi} \int_{r^2}^1 (2r \cos \theta + 2r \sin \theta - 1) r \, dz \, d\theta \, dr =$$

$$= \int_0^1 -2\pi r (1-r^2) \, dr = 2\pi \int_0^1 (r^3 - r) \, dr = 2\pi \left( \frac{1}{4} - \frac{1}{2} \right) = -\frac{\pi}{2}.$$

4. Dobbiamo calcolare  $\int_{\Sigma} \langle \underline{F}, \underline{n} \rangle_3 d\sigma$ , con  $\underline{n}$  vettore normale tale che  $n_1 > 0$ .



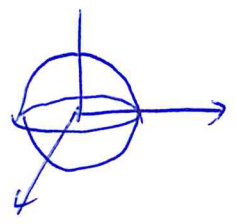
Si ha  $\Sigma = \{(x,y,z) : z \in [0, \sqrt{2}], x=y \in [0,1]\}$ , x

ossia  $\Sigma : \begin{cases} x=y \\ y=y \\ z=z \end{cases} \quad \begin{matrix} y \in [0,1] \\ z \in [0, \sqrt{2}] \end{matrix}, \quad D\sigma = \begin{pmatrix} 1 & 0 \\ 1 & 0 \\ 0 & 1 \end{pmatrix}, \quad \underline{n} = \begin{pmatrix} 1 \\ -1 \\ 0 \end{pmatrix}$

e  $\underline{n}$  ha l'orientazione corretta. Perciò

$$\int_{\Sigma} \langle \underline{F}, \underline{n} \rangle_3 d\sigma = \int_0^1 \int_0^{\sqrt{2}} (y^2 - y^2) dz dy = 0.$$

5) Dobbiamo calcolare  $\int_{\Sigma} \langle \text{rot} \underline{F}, \underline{n} \rangle_3 d\sigma$ ; con  $\underline{n}$  vettore normale esterno. Ma  $\Sigma$  è una superficie chiusa (è il bordo delle palle unitarie di  $\mathbb{R}^3$ ). Detta  $B$  tale palla, per il teorema della divergenza si ha



$$\int_{\Sigma} \langle \text{rot} \underline{F}, \underline{n} \rangle_3 d\sigma = \int_B \text{div} \text{rot} \underline{F} \, dx dy dz;$$

ma la divergenza di un rotore è sempre 0, per cui il flusso cercato vale 0.

⑥ Dobbiamo calcolare  $\int_{\Sigma} \langle \text{rot } \underline{F}, \underline{n} \rangle d\sigma$ , con  $\underline{n}$  vettore normale tale che  $n_z < 0$ .

(120)

Utilizzando coordinate cilindriche con assi uguali all'asse  $y$ , si ha

$$\Sigma: \begin{cases} x = r \sin \theta \\ y = r^2 \\ z = r \cos \theta \end{cases} \quad \theta \in \left[-\frac{\pi}{2}, \frac{\pi}{2}\right], r \in [0, 1]$$

$$D\sigma = \begin{pmatrix} \sin \theta & r \cos \theta \\ 2r & 0 \\ \cos \theta & -r \sin \theta \end{pmatrix}, \quad \underline{n} = \begin{pmatrix} -2r^2 \sin \theta \\ -r \\ -2r^2 \cos \theta \end{pmatrix}$$

e l'orientazione di  $\underline{n}$  è corretta. Riparla per

$$\text{rot } \underline{F} = \det \begin{pmatrix} \hat{i} & \hat{j} & \hat{k} \\ D_x & D_y & D_z \\ \gamma & x & x e^{-y} \end{pmatrix} = \begin{pmatrix} -x e^{-y} \\ -e^{-y} \\ 0 \end{pmatrix},$$

e dunque

$$\int_{\Sigma} \langle \text{rot } \underline{F}, \underline{n} \rangle d\sigma = \int_{-\frac{\pi}{2}}^{\frac{\pi}{2}} \int_0^1 \left[ -r e^{-r^2} \sin \theta (-2r^2 \sin \theta) - (e^{-r^2})(-r) + 0 \right] dr d\theta =$$

$$= \int_{-\frac{\pi}{2}}^{\frac{\pi}{2}} \sin^2 \theta d\theta \int_0^1 2r^3 e^{-r^2} dr + \pi \int_0^1 r e^{-r^2} dr =$$

$$= \pi \int_0^1 (t^3 + t) e^{-t} dt = \left[ r^2 = t \right]$$

$$= \frac{\pi}{2} \int_0^1 (t+1) e^{-t} dt = \frac{\pi}{2} \left[ -(t+2)e^{-t} \right]_0^1 = \pi \left[ 1 - \frac{3}{2} e^{-1} \right].$$

